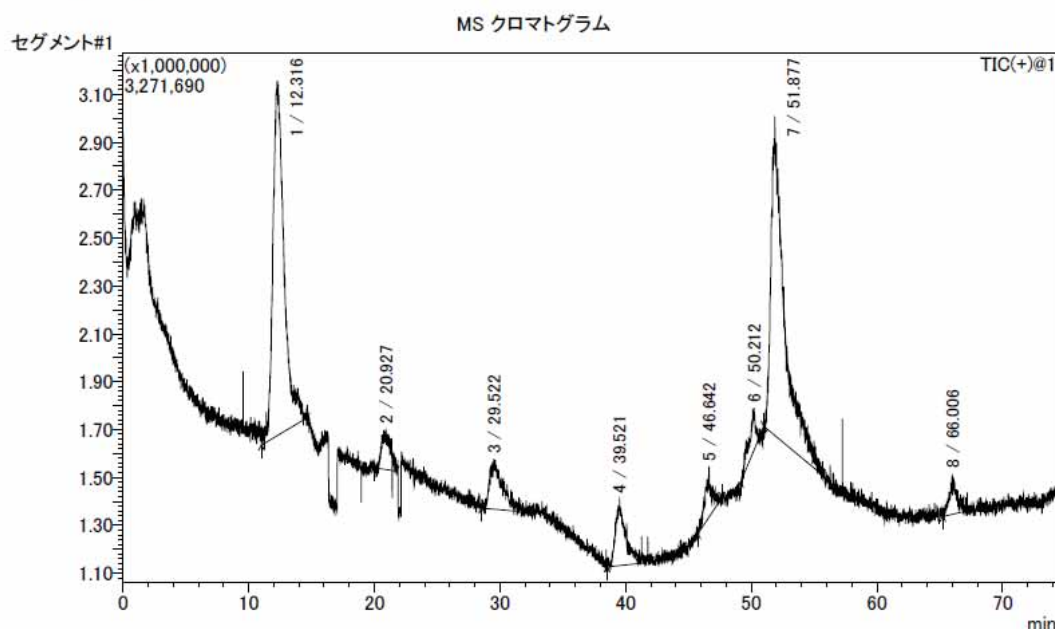


資料2 コンフリーの粗塩基分画の LC-MS

資料 2-1

〈クロマトグラム〉



サンプル: *Symphytum officinale*, Crude base

カラム : InertSustain C18 5 μ m (250 \times 4.6 mm) (GL Science)

溶離液 : (A) 0.2 % ギ酸水溶液
(B) アセトニトリル

グラジエント : 0 min A:B=70:30
15 min A:B=0:100

流速 : 0.4 mL/min

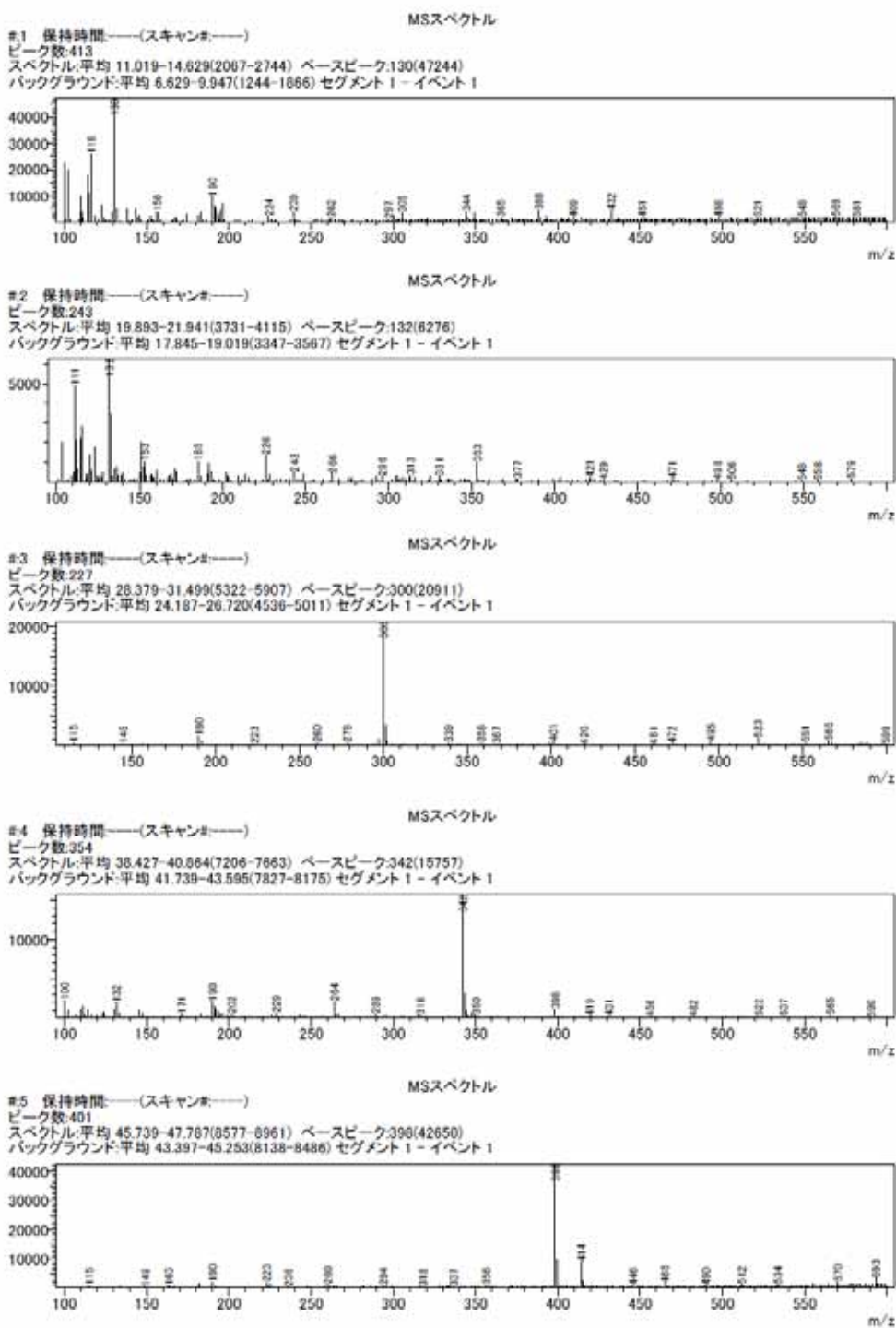
カラムオーブン : 30 °C

MS : ESI (positive)

m/z

300 → Lycopsamine
382 → Symphytine, Symviridine, Symlandine
398 → Echimidine

資料 2-2

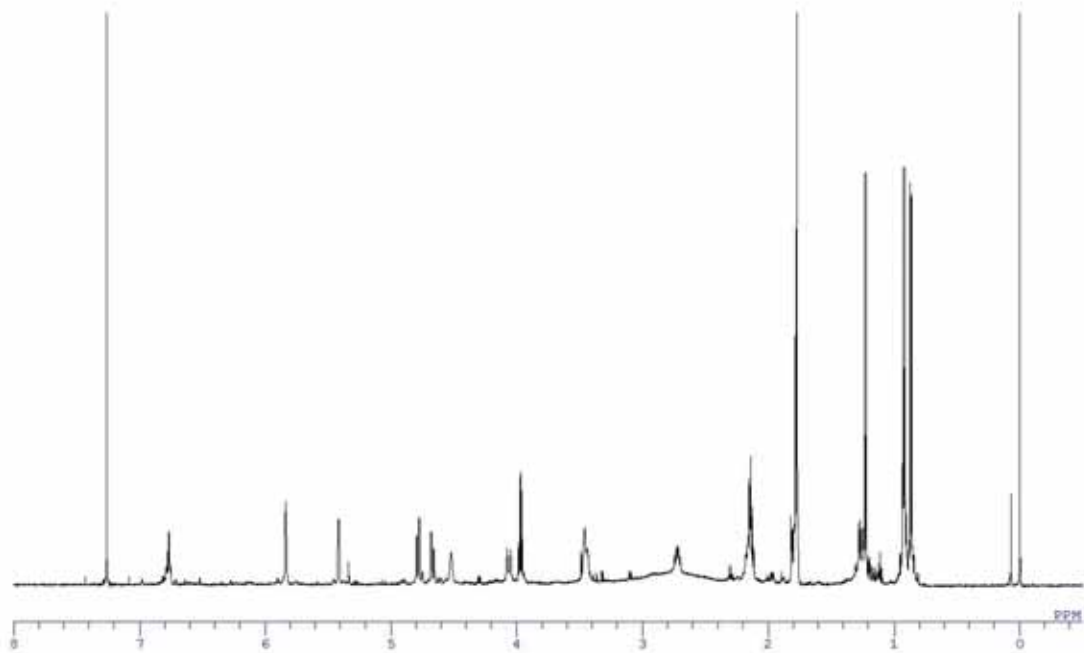


資料3 コンフリーより分離した化合物 **1-4** の NMR スペクトル

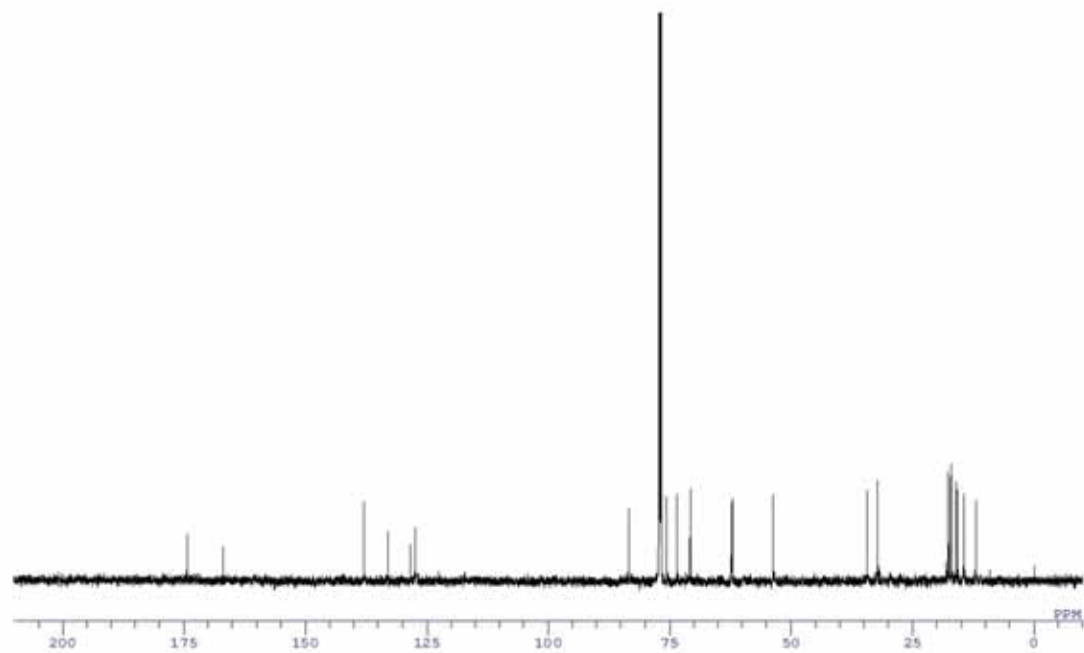
資料 3-1

Symphytine (**1**)

^1H NMR (600 MHz, CDCl_3)



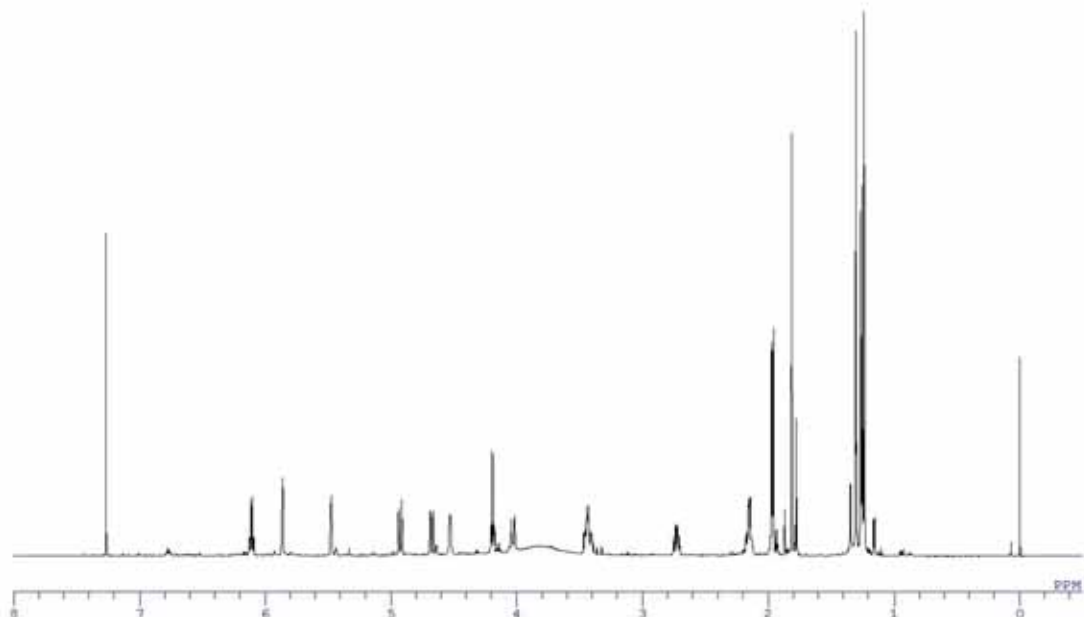
^{13}C NMR (150 MHz, CDCl_3)



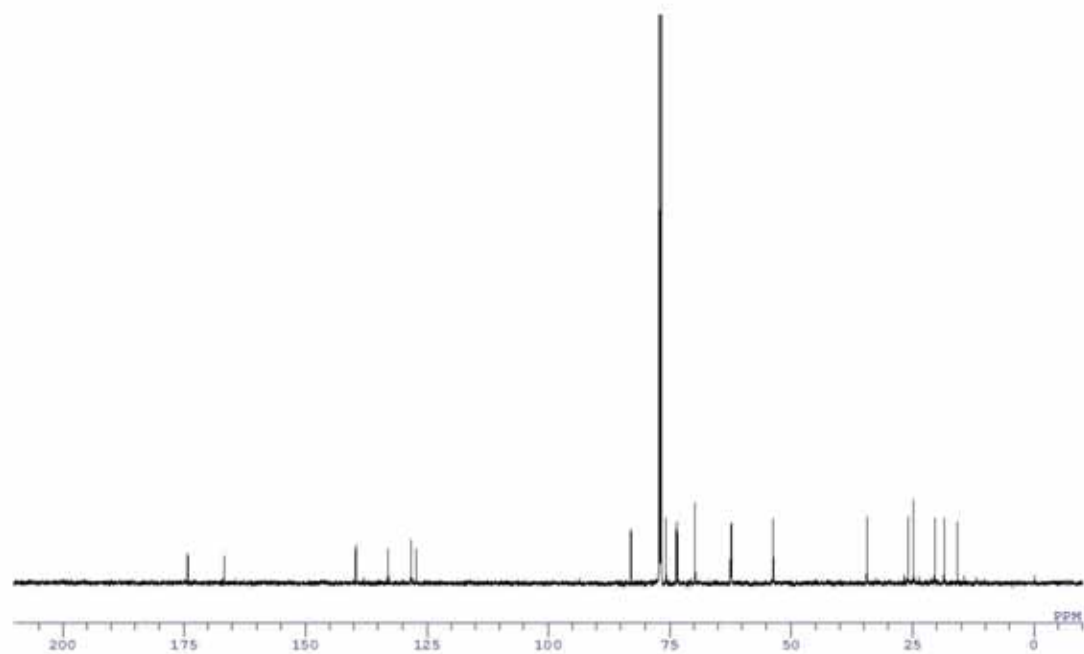
資料 3-2

Echimidine (2)

^1H NMR (600 MHz, CDCl_3)



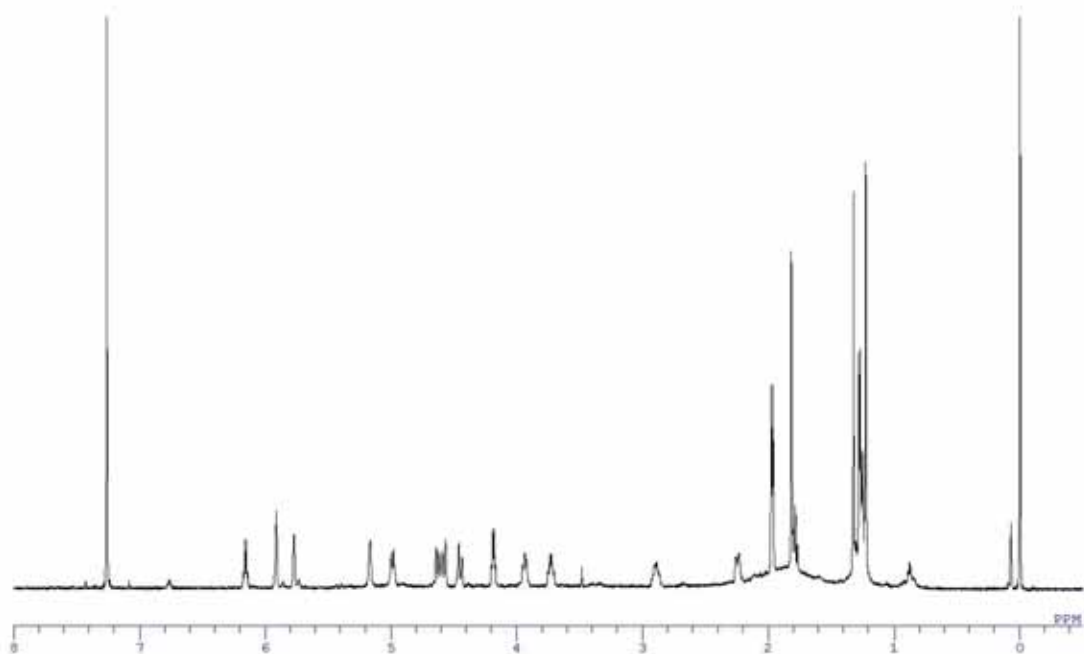
^{13}C NMR (150 MHz, CDCl_3)



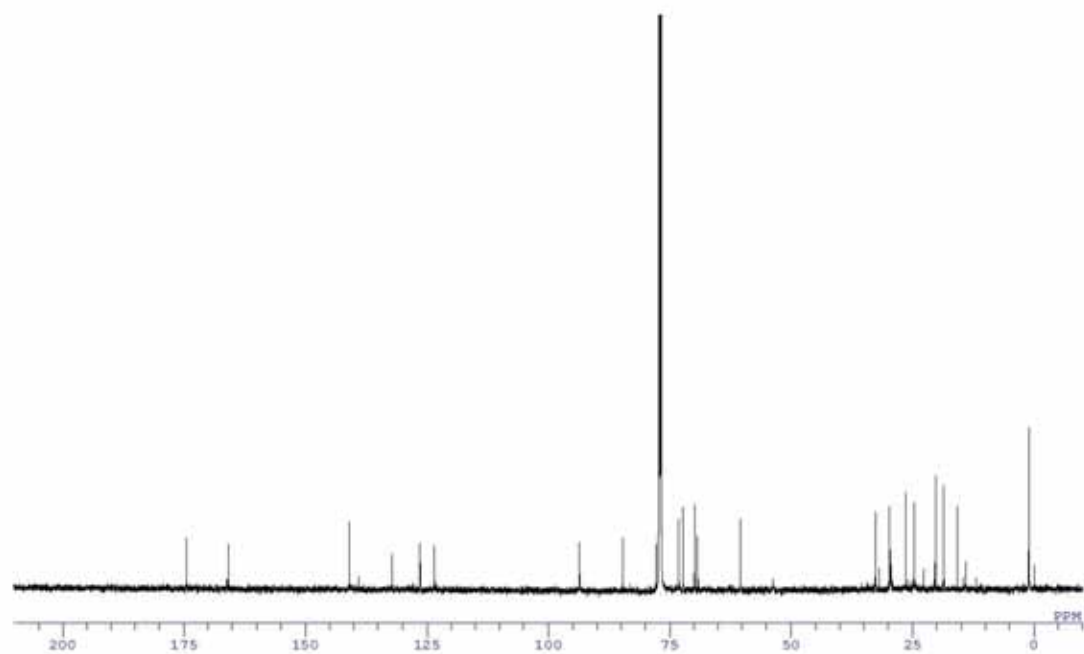
資料 3-3

Echimidine *N*-oxide (3)

^1H NMR (600 MHz, CDCl_3)



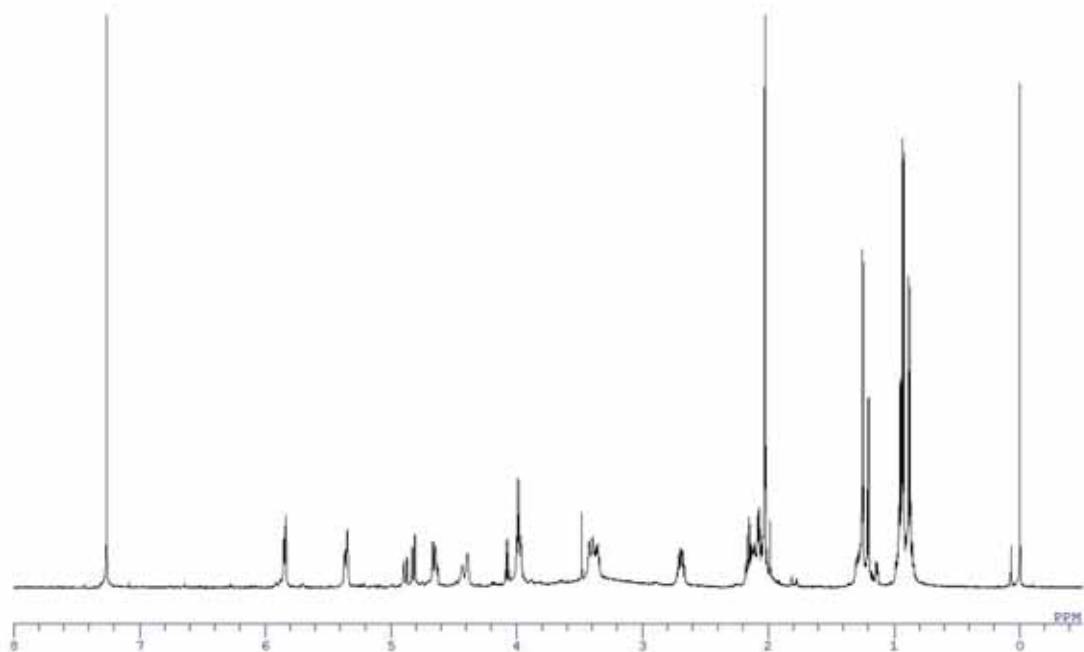
^{13}C NMR (150 MHz, CDCl_3)



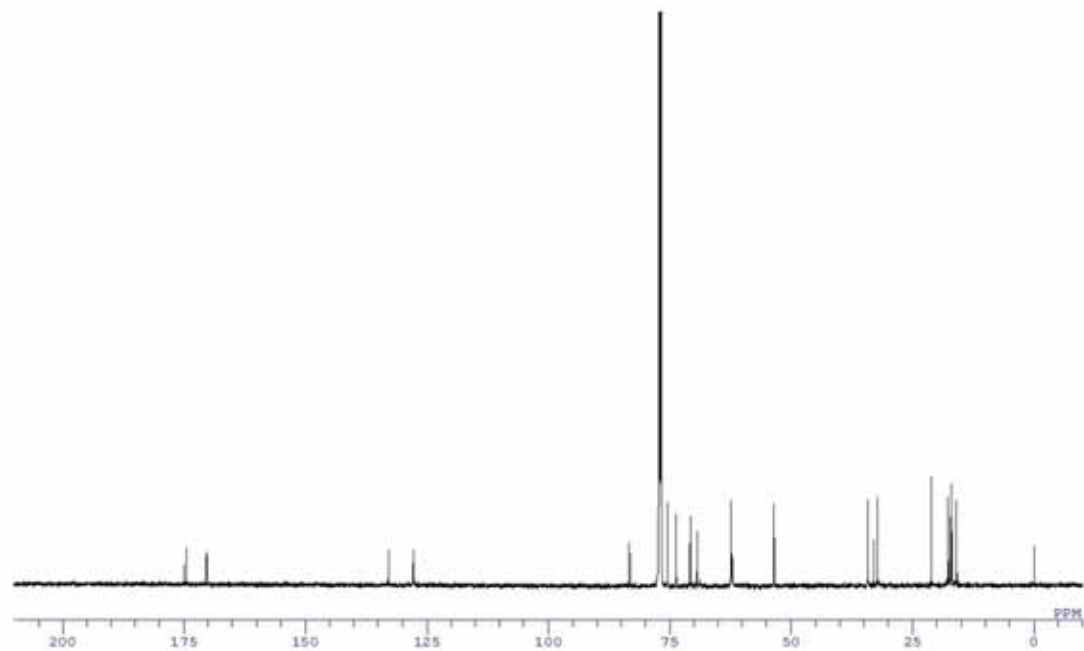
資料 3-4

Lycopsamine (4)

^1H NMR (600 MHz, CDCl_3)



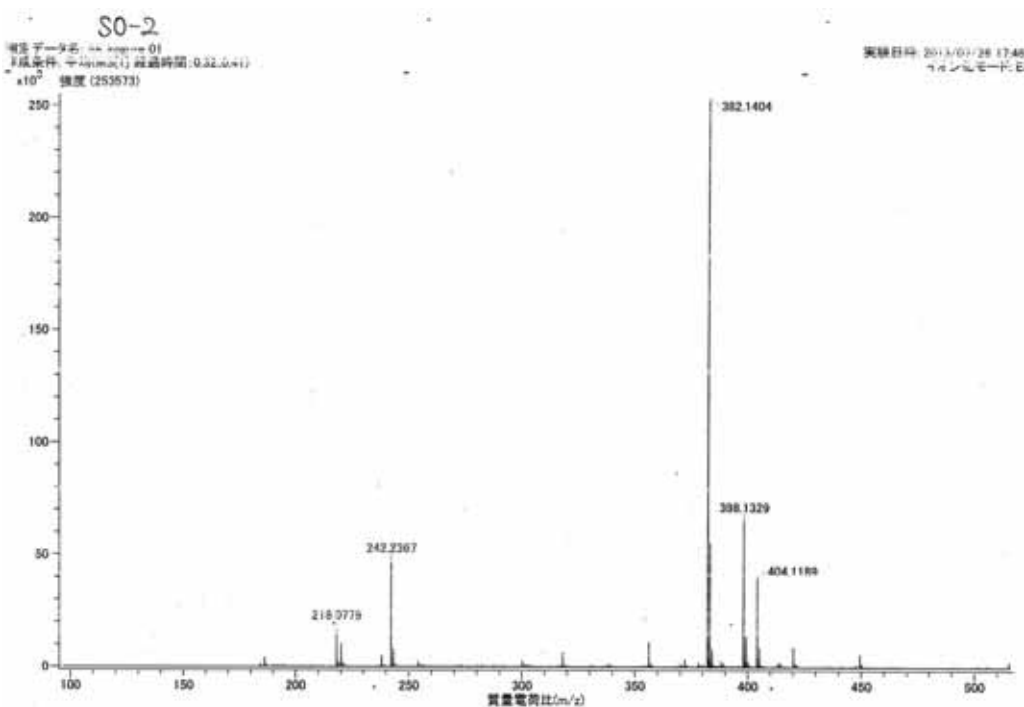
^{13}C NMR (150 MHz, CDCl_3)



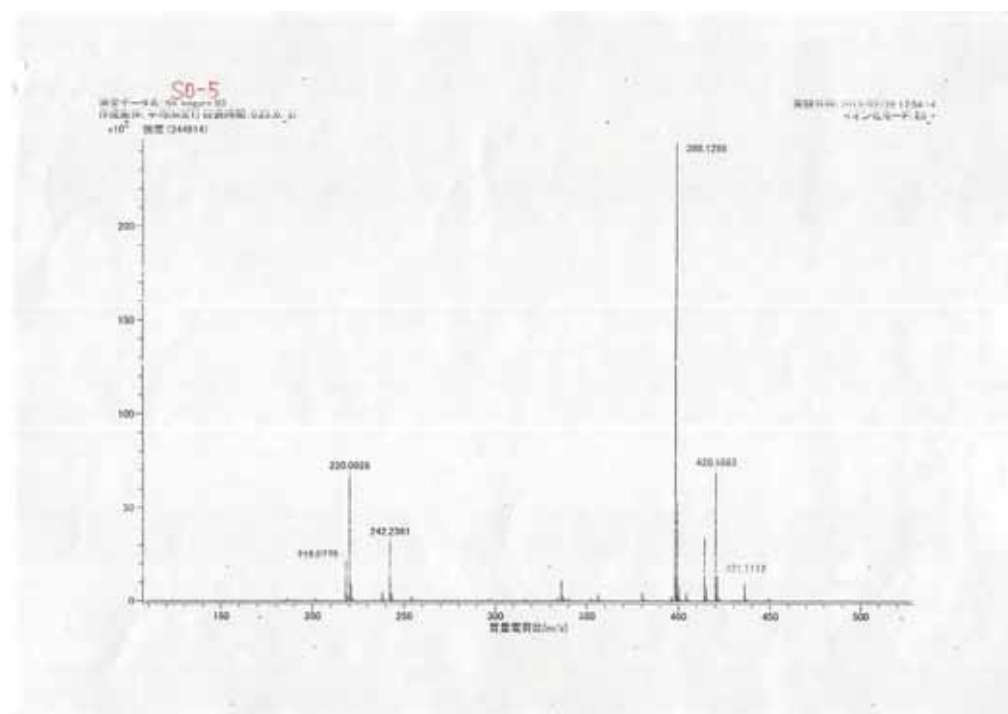
資料4 コンフリーより分離した化合物**1-3**のESI-MSスペクトル

資料4-1

Symphytine (1)

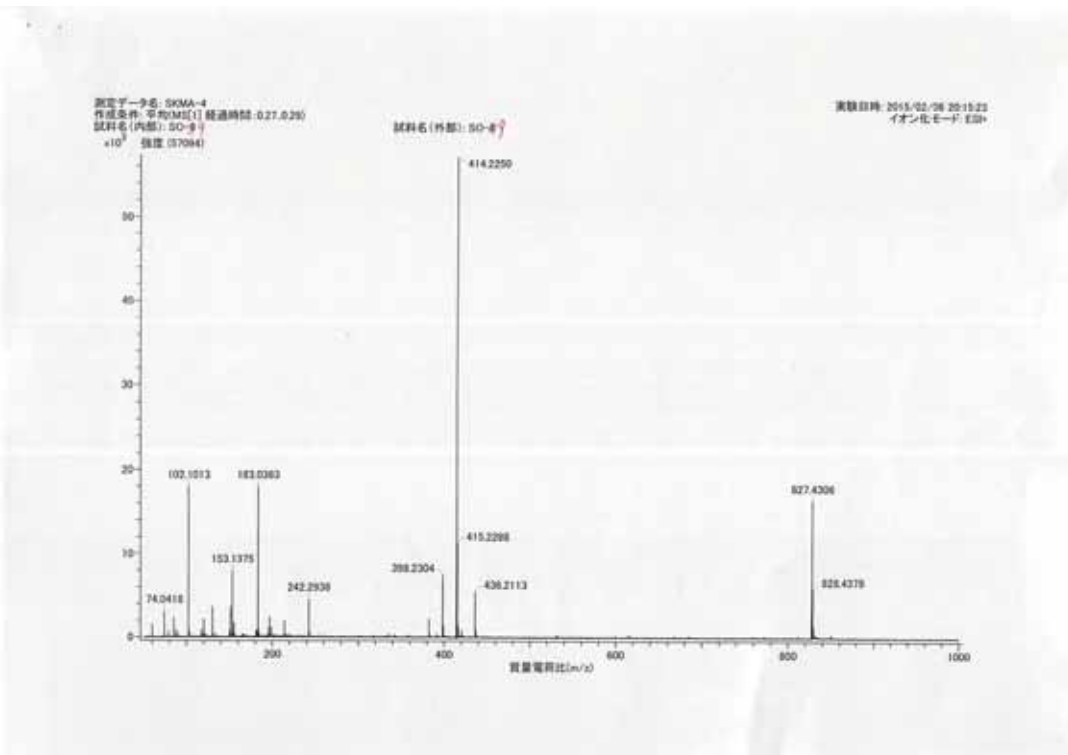


Echimidine (2)



資料 4-2

Echimidine *N*-oxide (3)



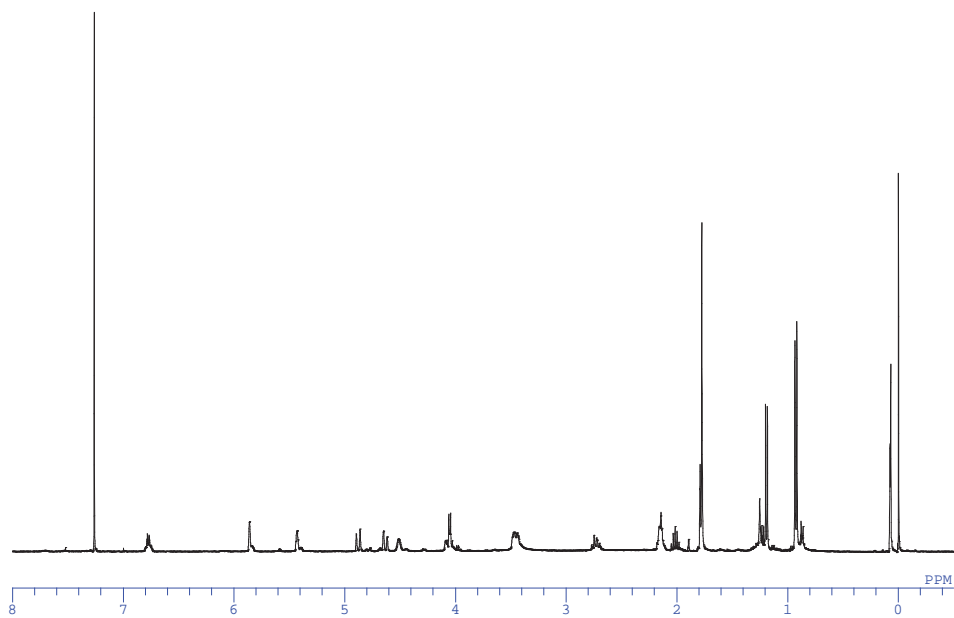
資料 5

コンフリーより分離した化合物 **10-12** の NMR チャート

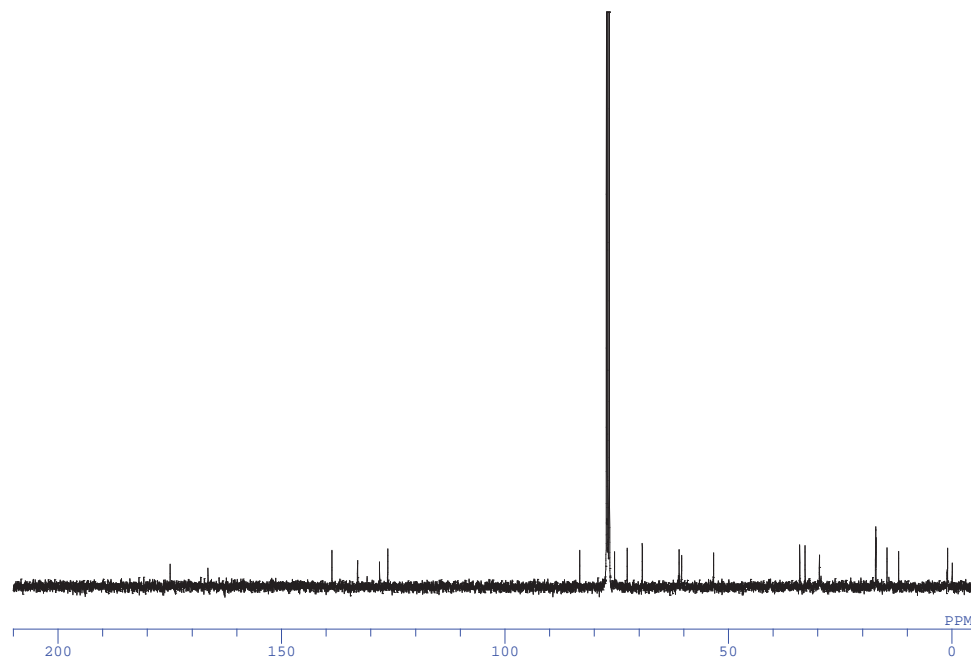
資料 5-1

Myoscorpine (10)

^1H NMR (400 MHz, CDCl_3)



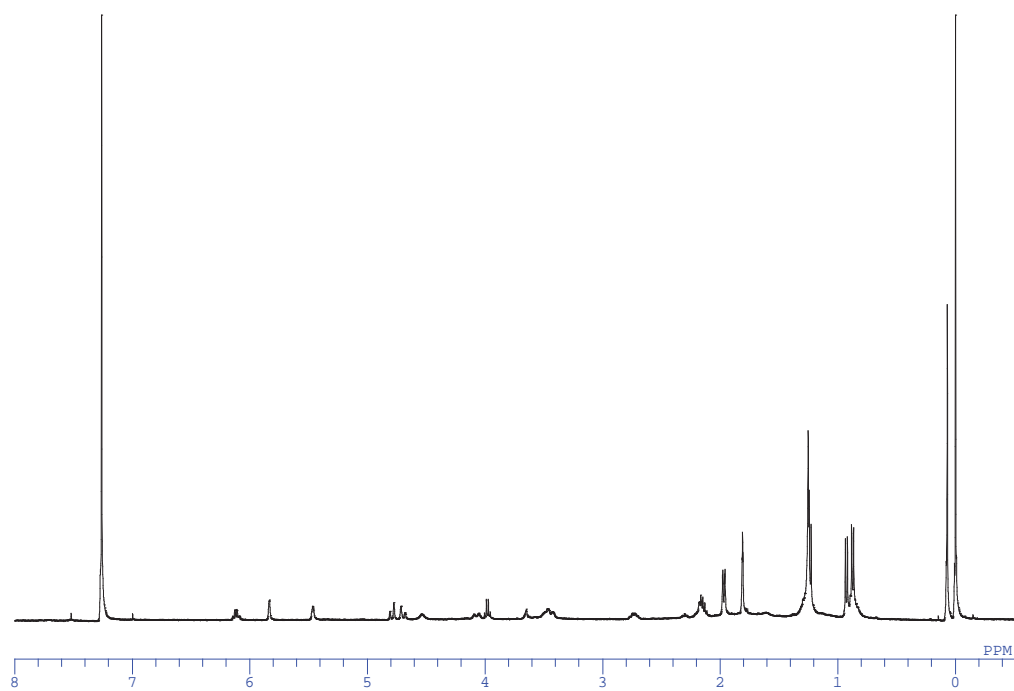
^{13}C NMR (100 MHz, CDCl_3)



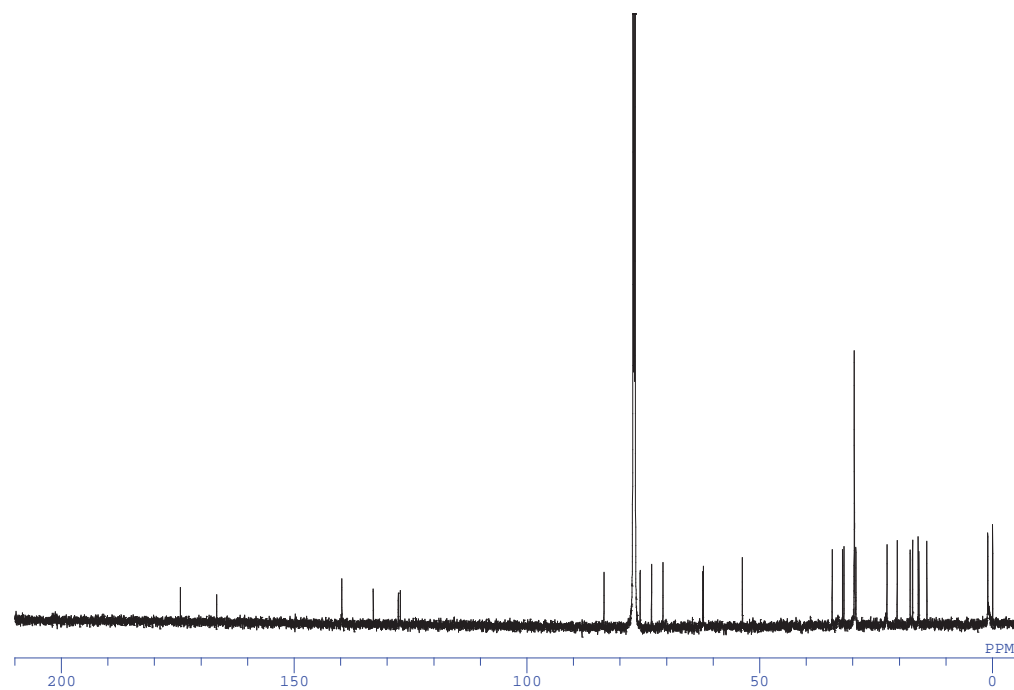
資料 5-2

Symlandine (11)

^1H NMR (400 MHz, CDCl_3)



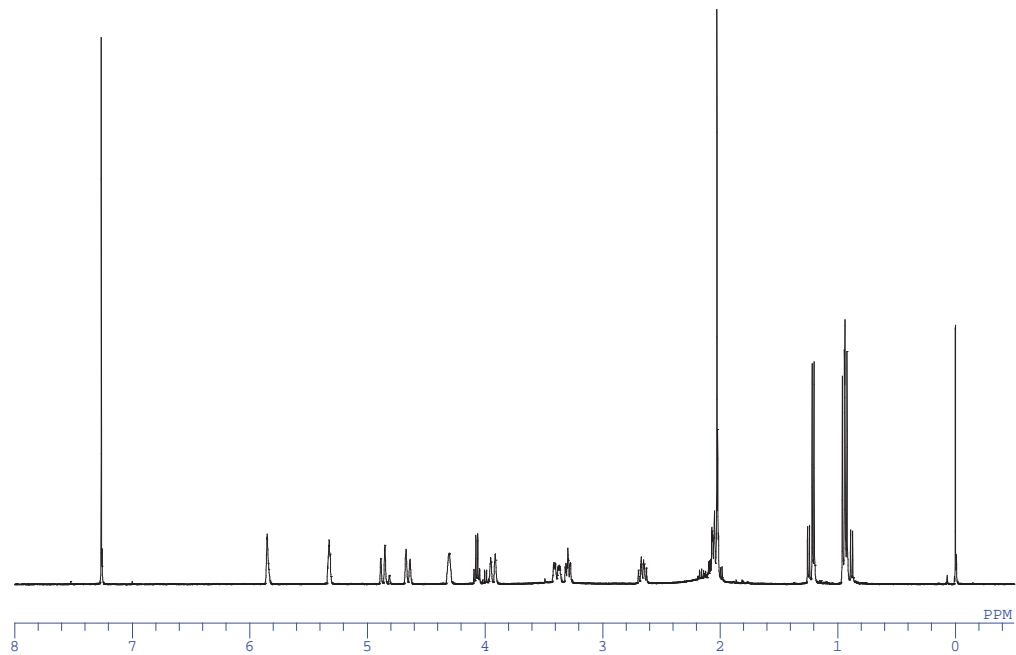
^{13}C NMR (150 MHz, CDCl_3)



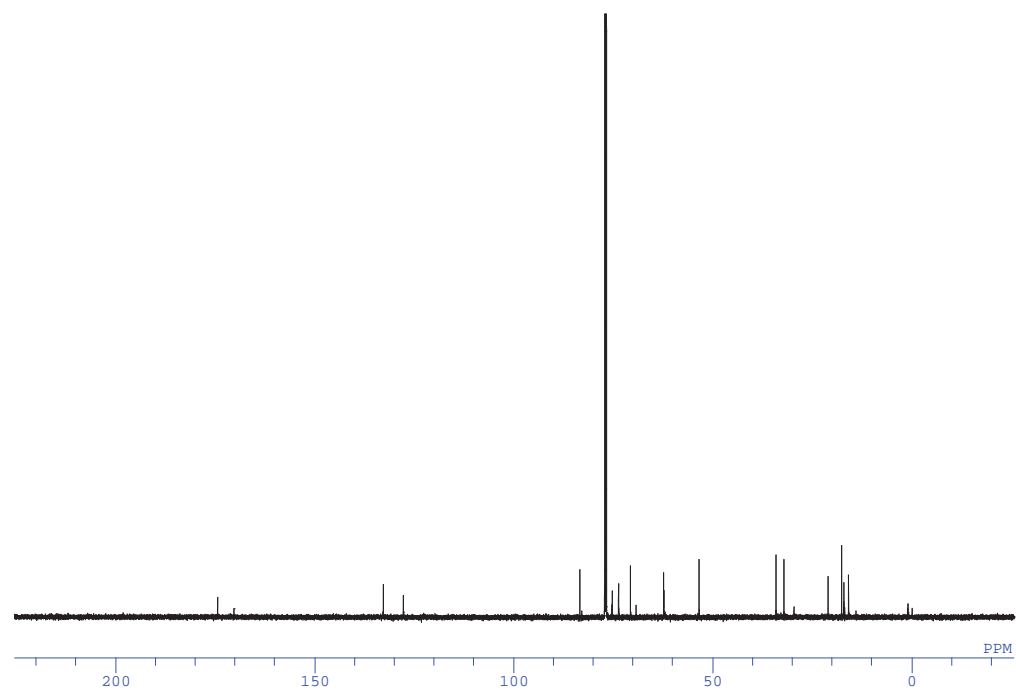
資料 5-3

7-Acetyllycopsamine (12)

^1H NMR (400 MHz, CDCl_3)



^{13}C NMR (150 MHz, CDCl_3)

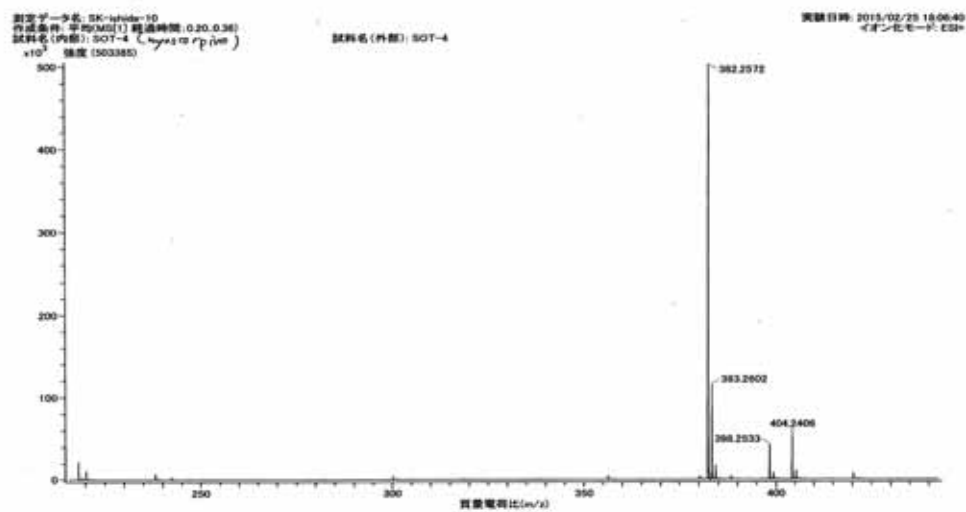


資料 6

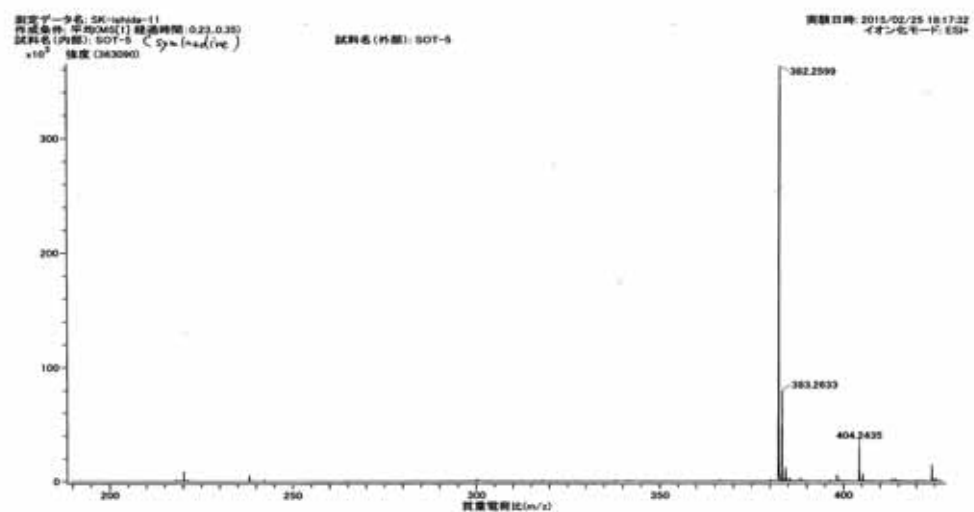
コンフリーより分離した化合物 10-12 の ESI-MS チャート

資料 6-1

Myoscorpine (10)

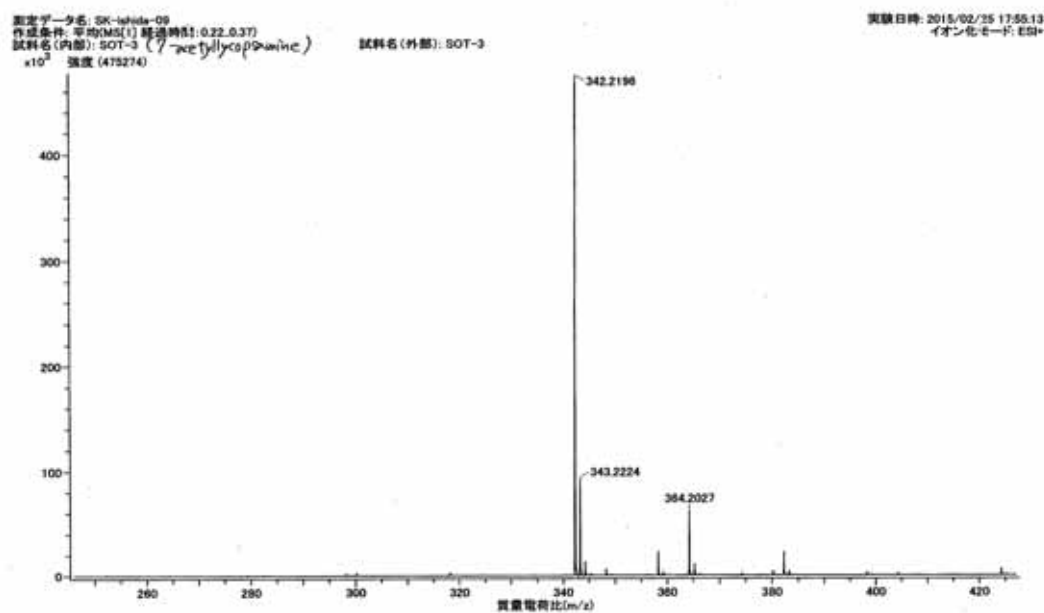


Symlandine (11)

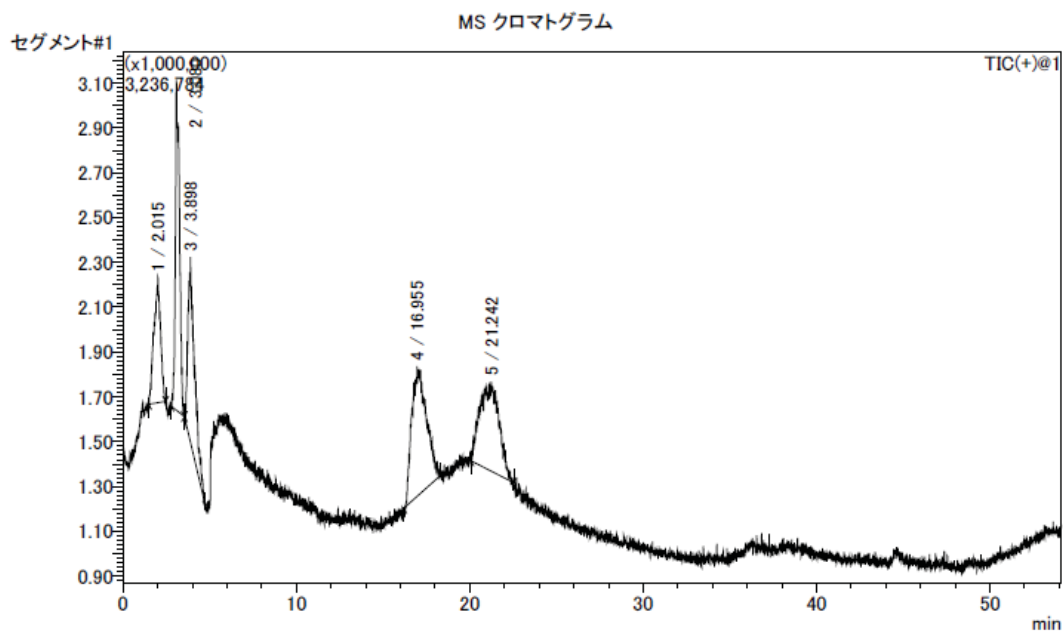


資料 6-2

7-Acetyllycospamine (12)



<クロマトグラム>



サンプル: フキ(*Petasites japonicus*), Crude base

カラム : InertSustain C18 5 μ m (250 × 4.6 mm) (GL Science)

溶離液 : (A) 0.2 % ギ酸水溶液
(B) アセトニトリル

グラジエント : 0 min A:B=70:30
15 min A:B=0:100

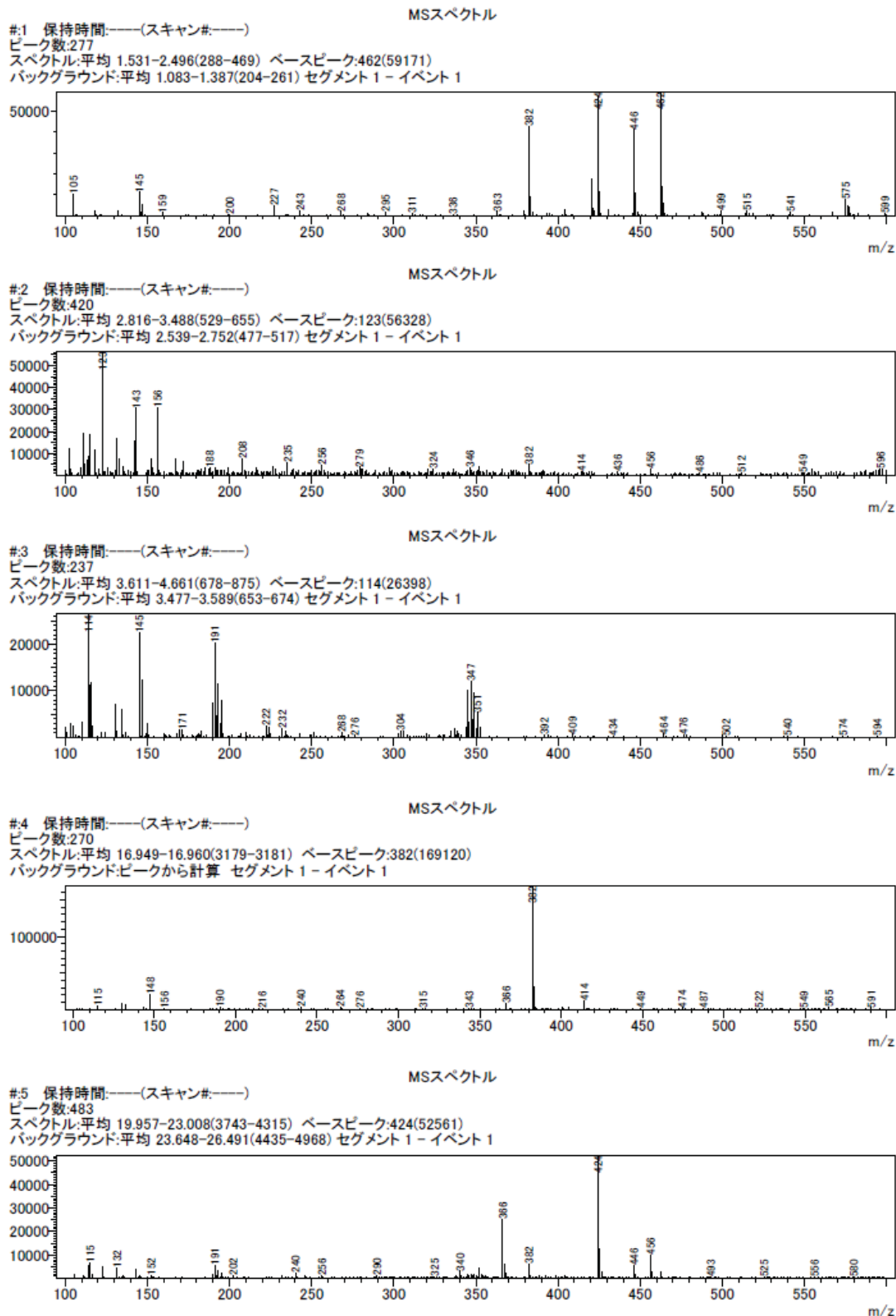
流速 : 0.4 mL/min

カラムオーブン : 30 °C

MS : ESI (positive)

m/z
366 → Senkirkine
382 → Petasitenine(Fukinotoxin)
424 → Neopetasitenine

資料 7-2



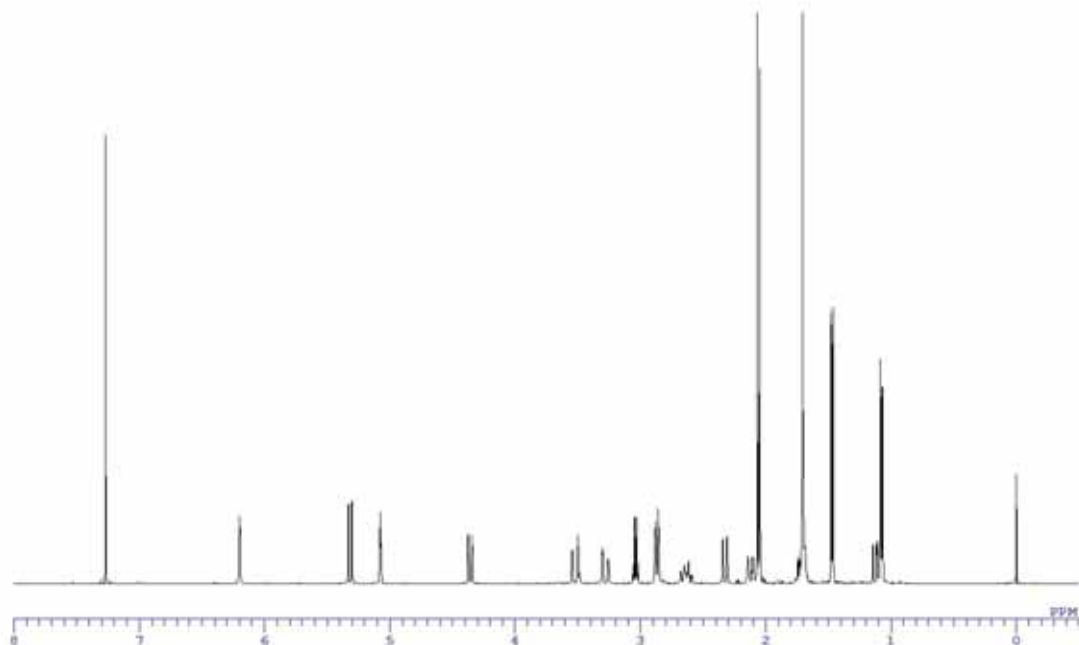
資料 8

フキより分離した化合物 **13-16** の NMR スペクトル

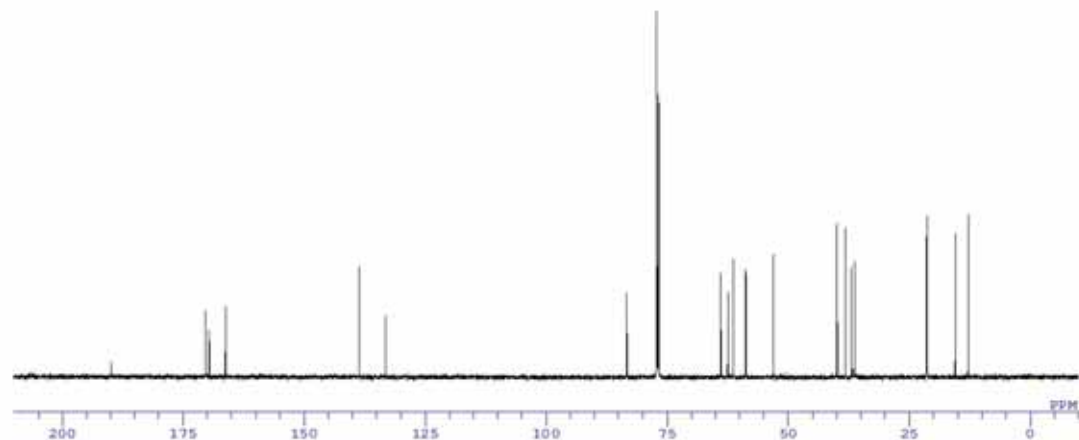
資料 8-1

Neopetasitenine (**13**)

^1H NMR (400 MHz, CDCl_3)



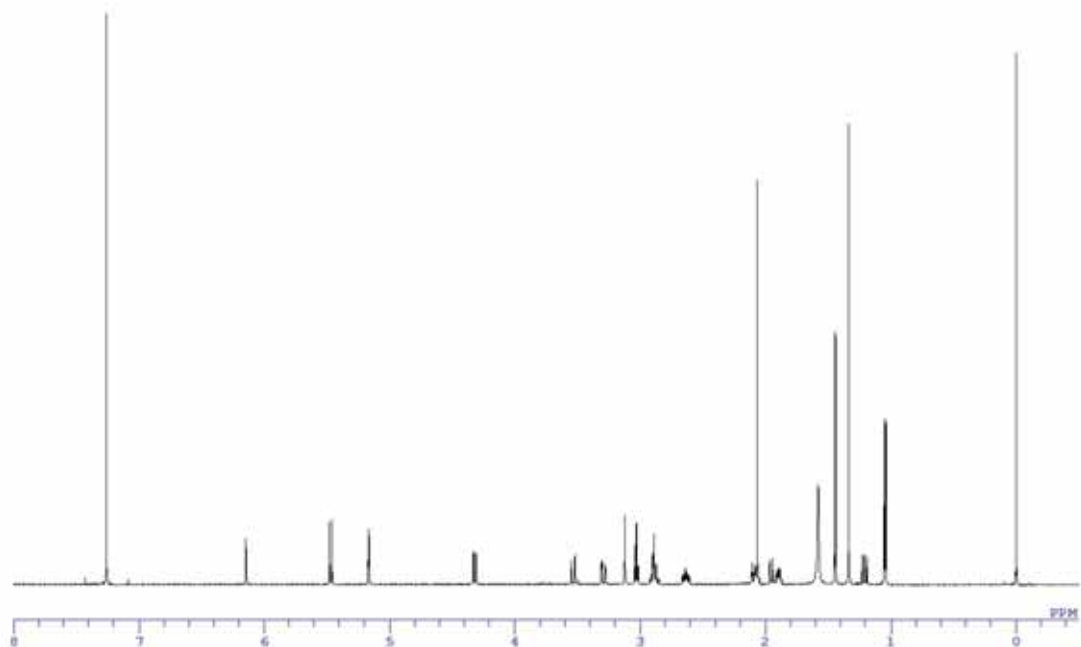
^{13}C NMR (150 MHz, CDCl_3)



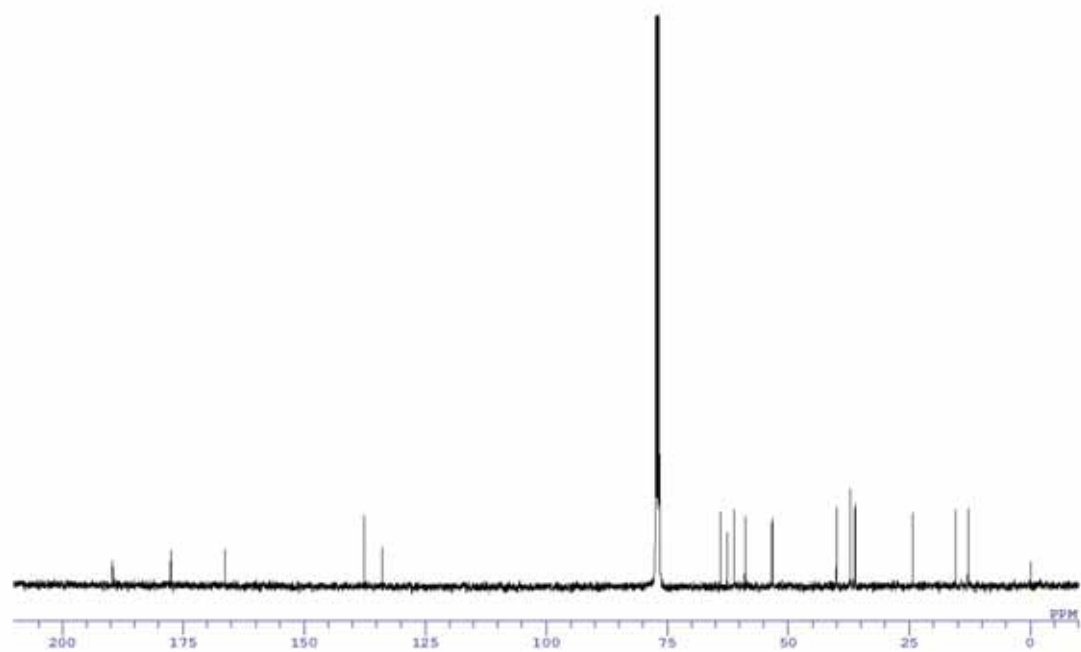
資料 8-2

Petasitenine (**14**)

^1H NMR (600 MHz, CDCl_3)



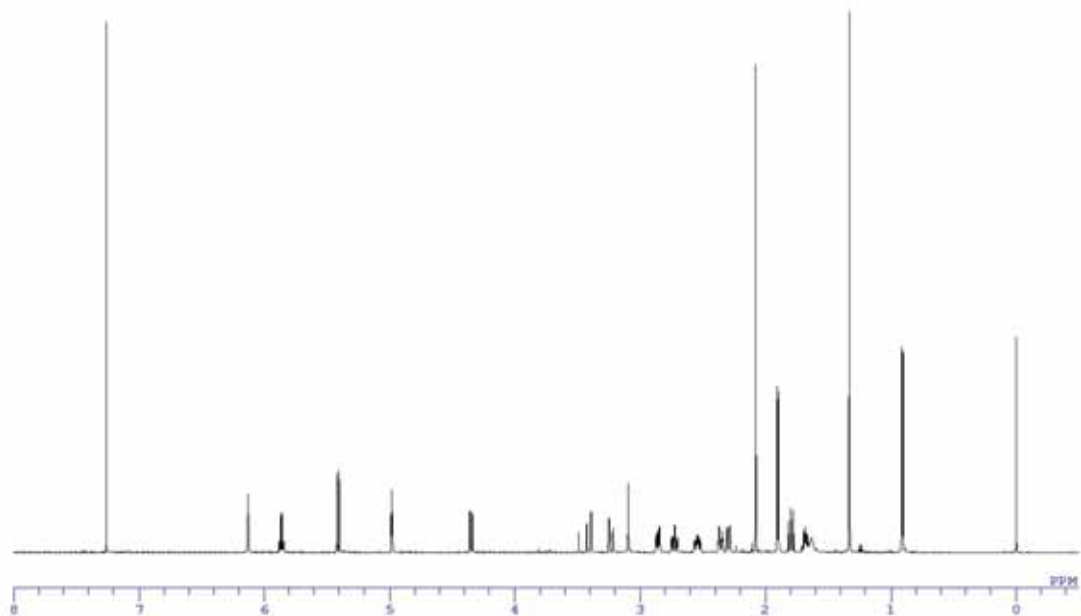
^{13}C NMR (100 MHz, CDCl_3)



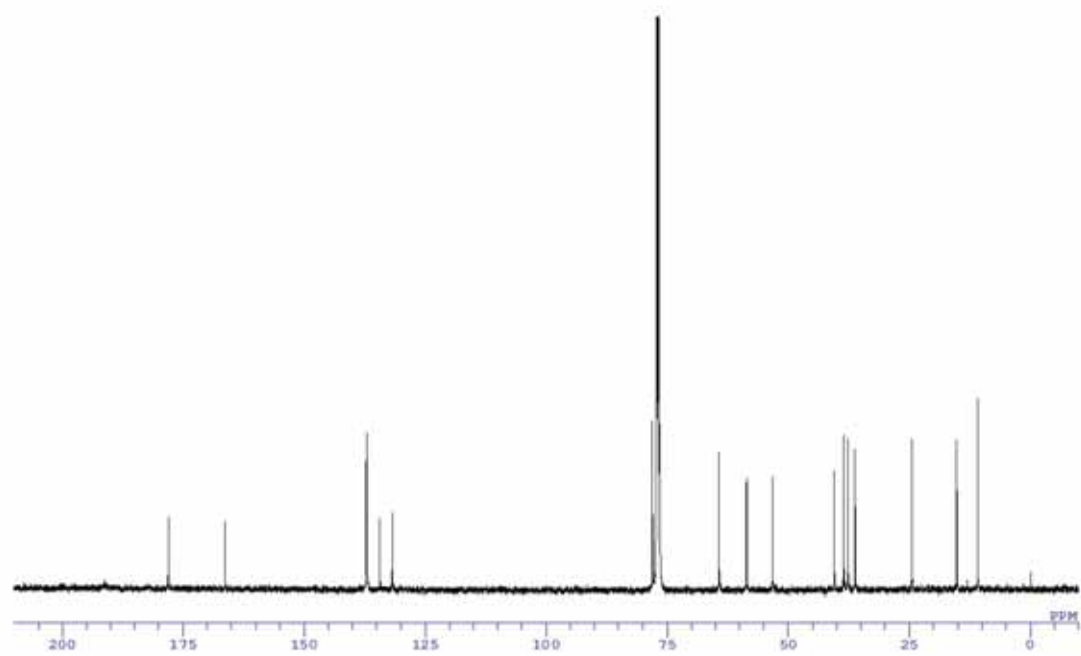
資料 8-3

Senkirkine (**15**)

^1H NMR (600 MHz, CDCl_3)



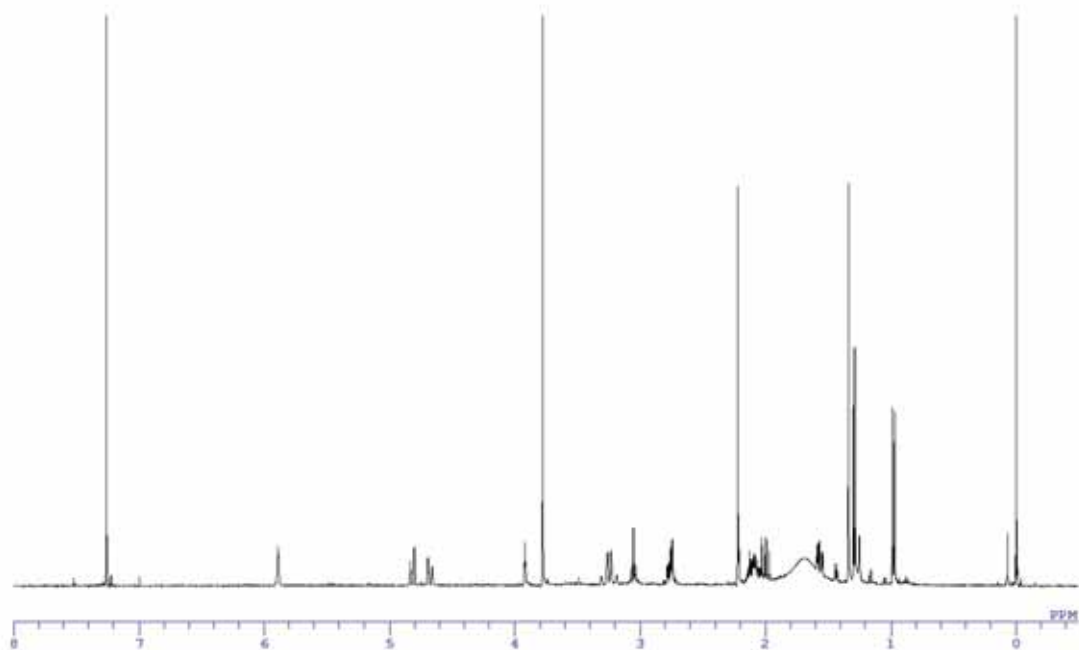
^{13}C NMR (150 MHz, CDCl_3)



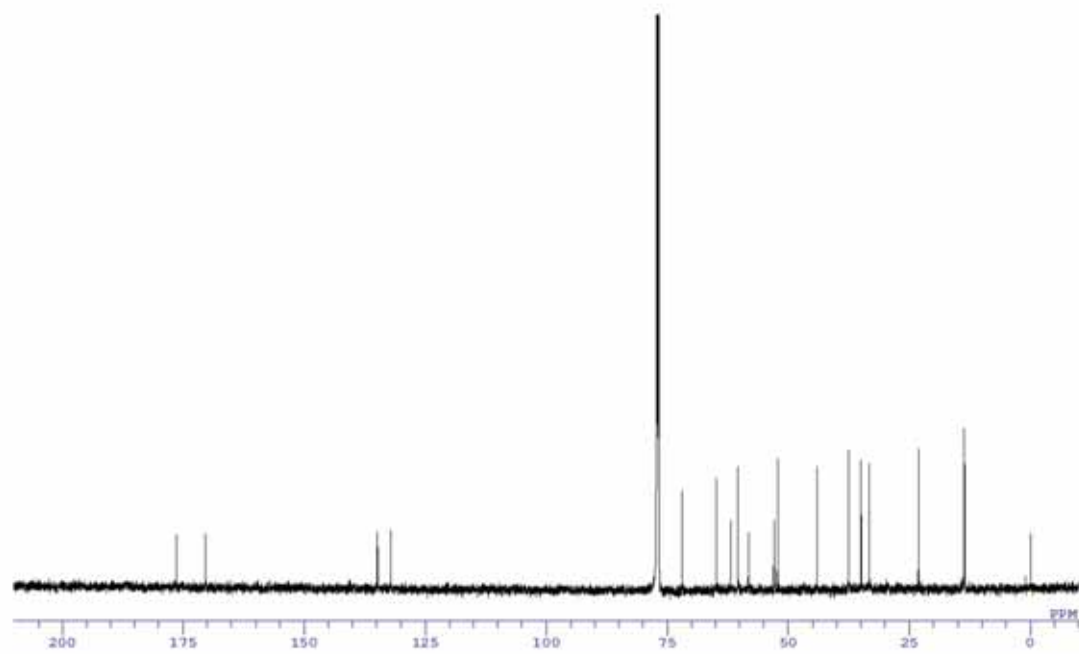
資料 8-4

PJ-4 (**16**) (New alkaloid)

^1H NMR (400 MHz, CDCl_3)



^{13}C NMR (150 MHz, CDCl_3)

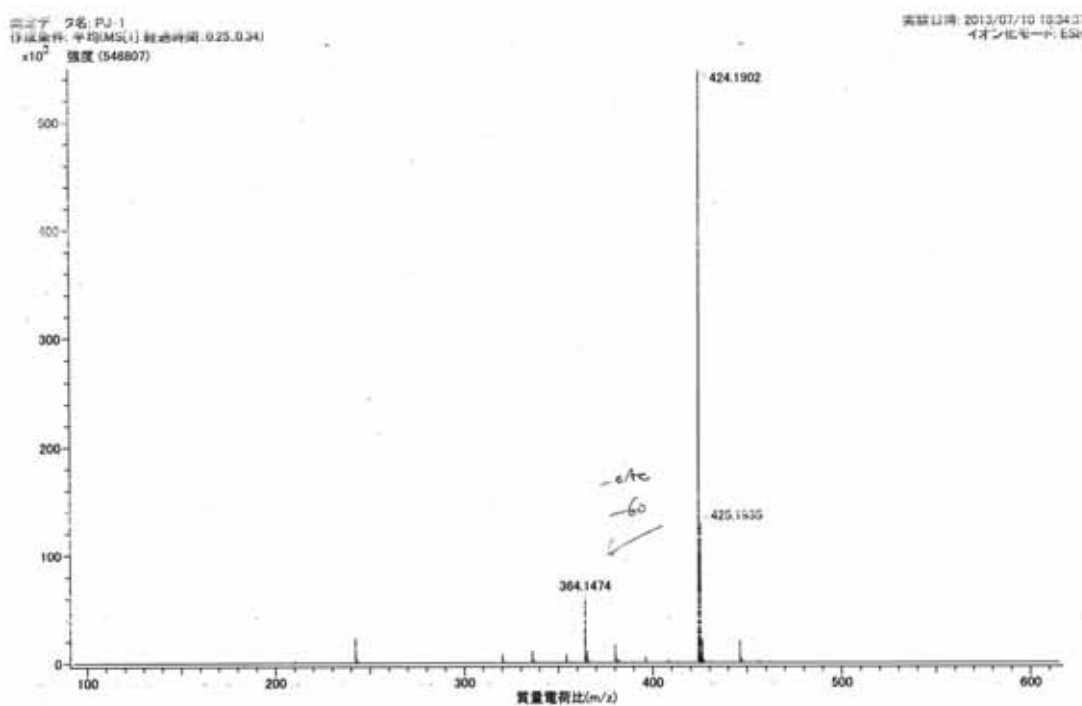


資料 9

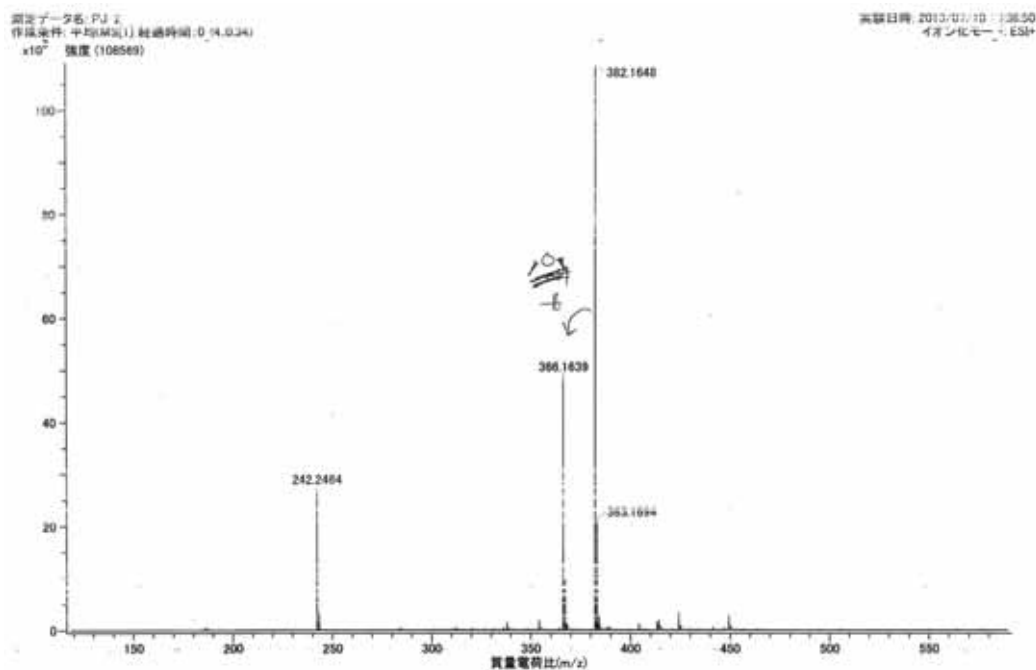
フキより分離した化合物 13-16 の ESI-MS スペクトル

資料 9-1

Neopetasitenine (13)

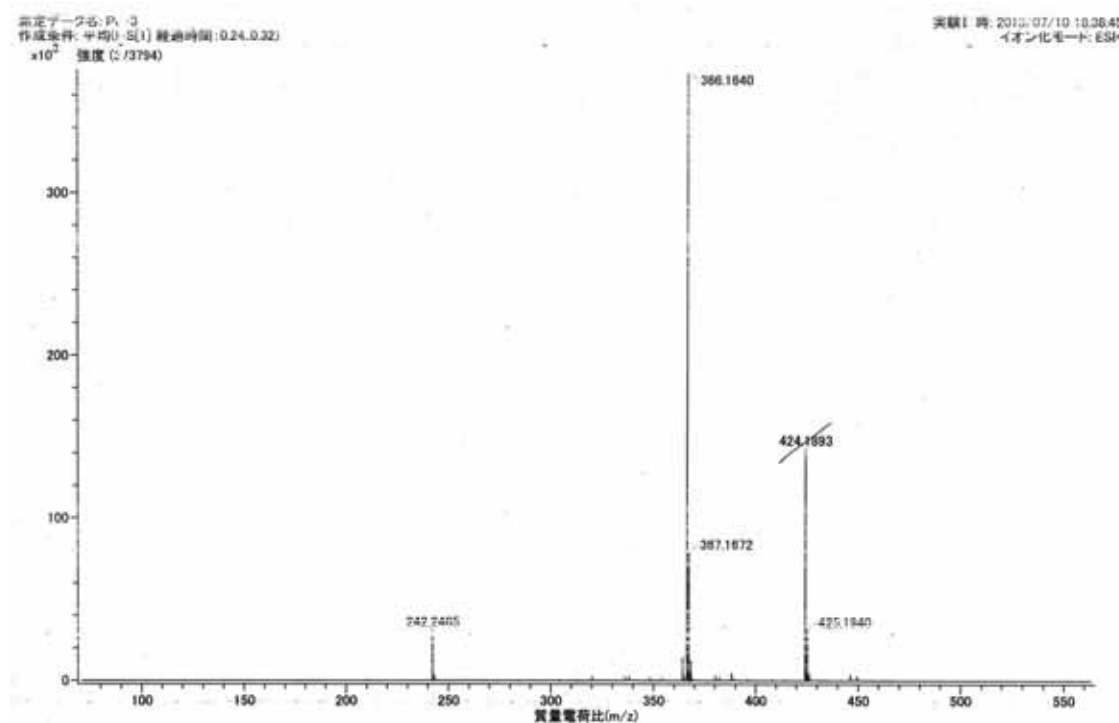


Petasitenine (14)

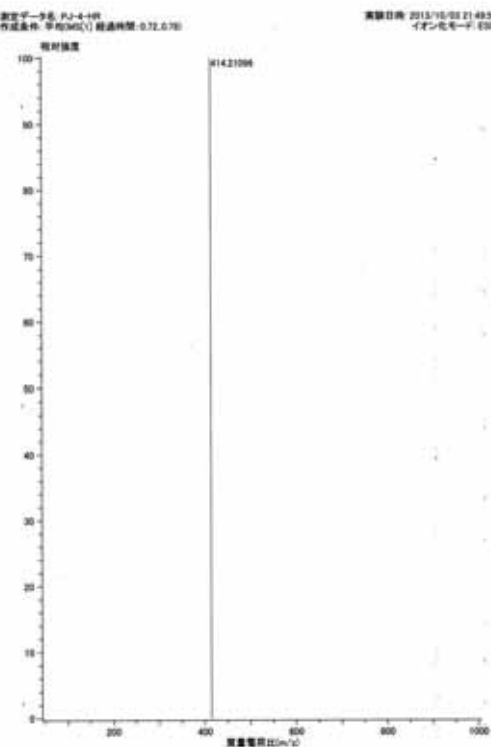


資料 9-2

Senkirkine (15)

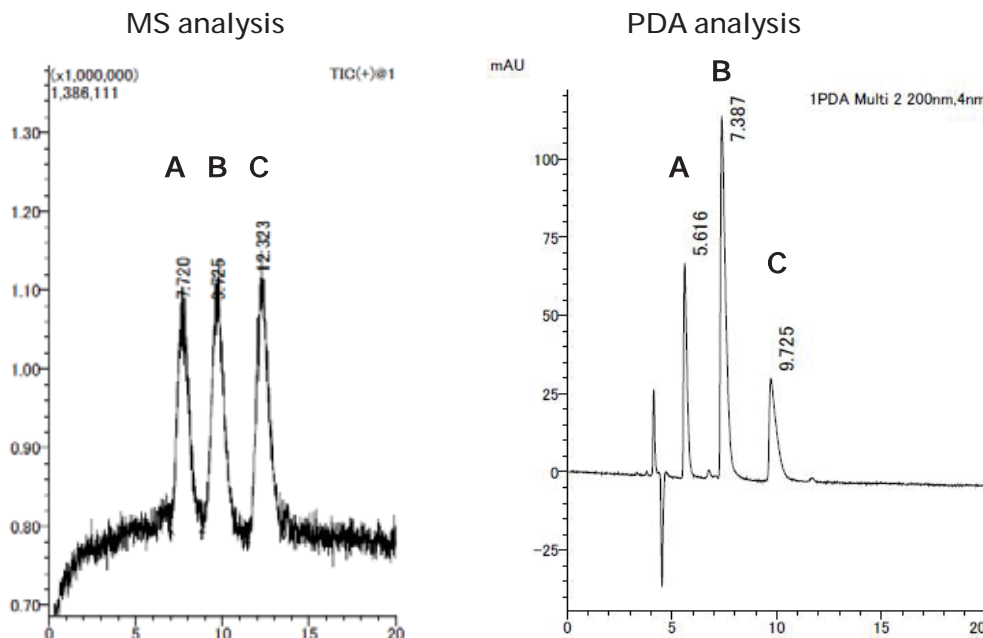


PJ-4 (16)



Condition

Column: Waters Atlantis dC18 5 μm (250 \times 4 .6 mm I.D.)
 Eluent: A 0.1 v/v% HCO_2H aq., B MeOH; A 55 %, B 45 % (0-20 min)
 Flow rate: 0.8 mL/min
 Column temp.: 30 $^{\circ}\text{C}$
 Detection: ESI-MS (positive mode, MS analysis)
 UV (200 nm, PDA analysis)
 Injection: 3 μL (10 ng/mL, MS analysis)
 2 μL (10 mg/mL, PDA analysis)



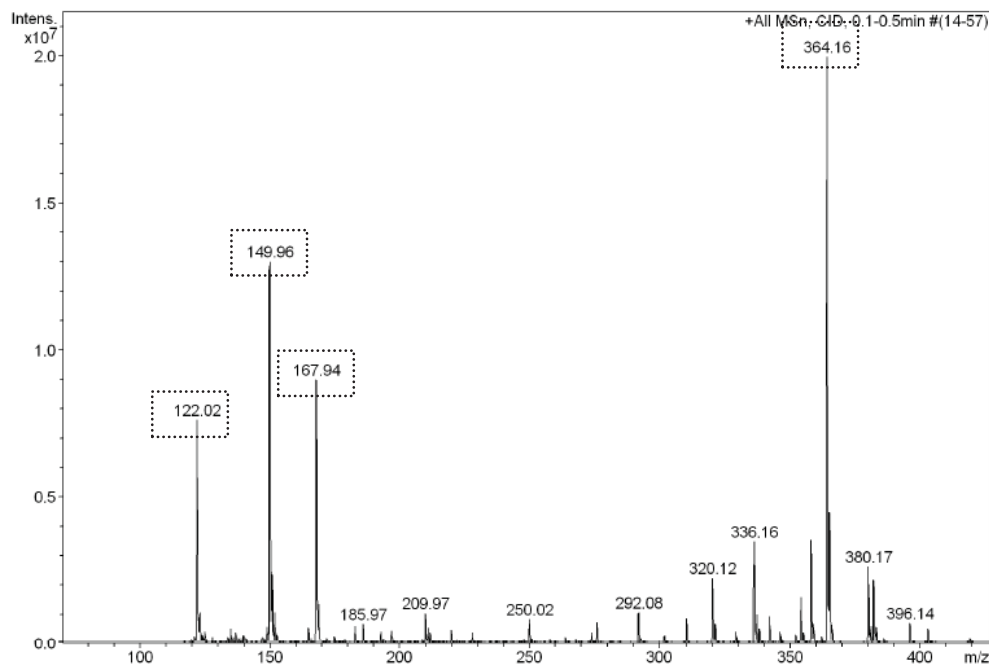
A, Petasitenine (**14**); **B**, Senkirkine (**15**); **C**, Neopetasitenine (**13**).

資料 1 1

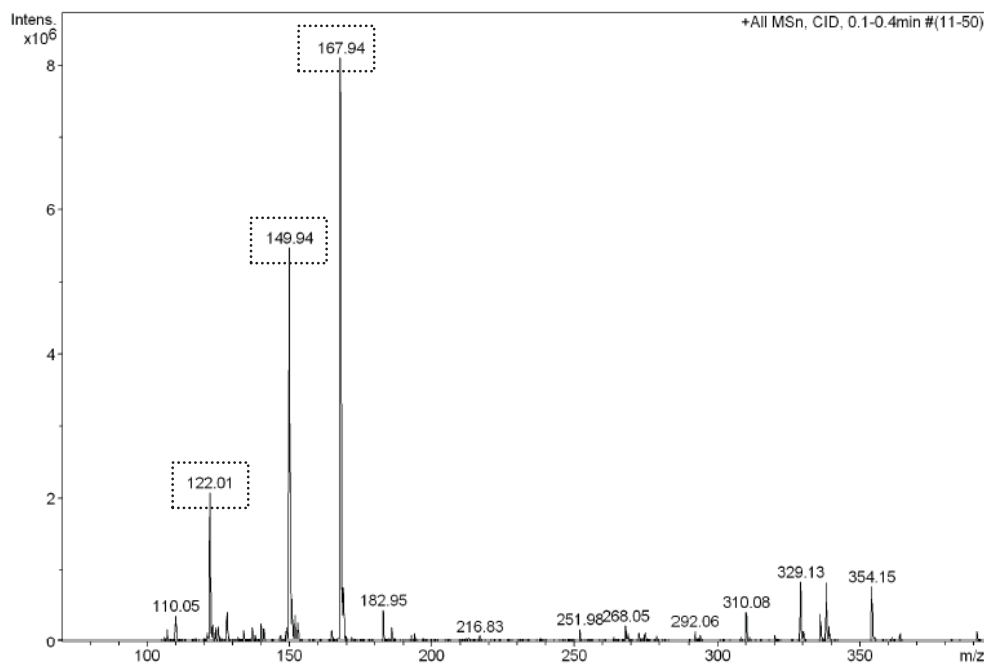
フキより分離した化合物 **13-16** の LC-MS/MS スペクトル

資料 11-1

Neopetasitenine (13)

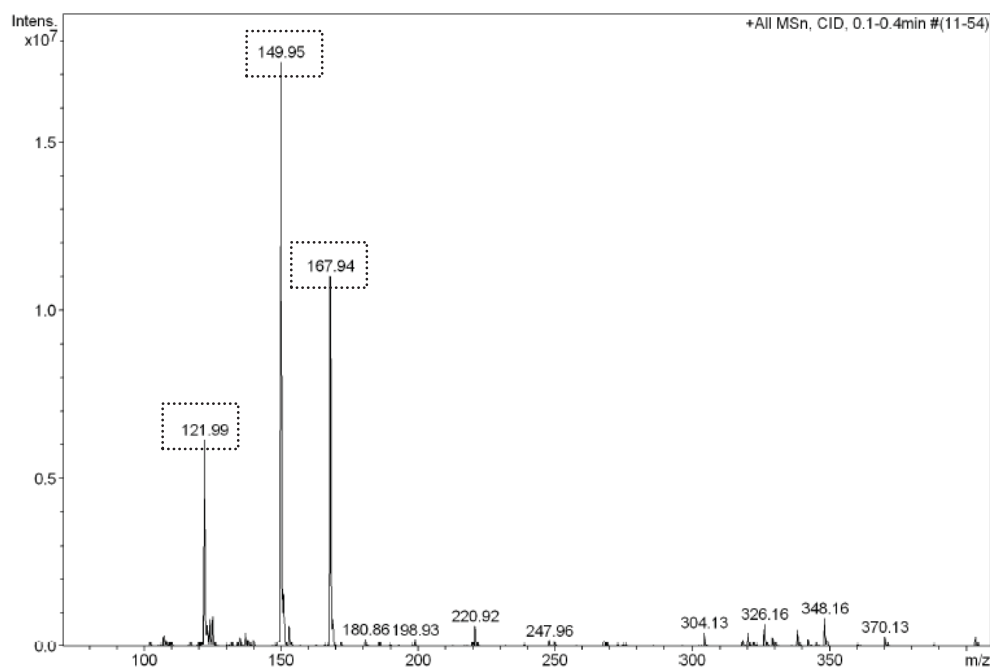


Petasitenine (14)



資料 11-2

Senkirkine (15)



PJ-4 (16) (New alkaloid)

